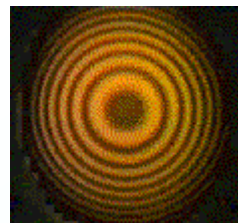
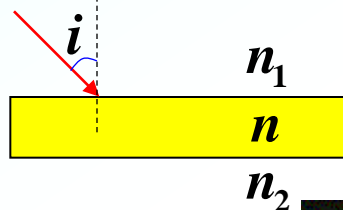


●分振幅干涉 (薄膜干涉)

1.等倾干涉 (薄膜厚度均匀)

$$2d\sqrt{n^2 - n_1^2 \sin^2 i} + \frac{\lambda}{2} = \begin{cases} k\lambda & (k=1,2,\dots) \dots \text{明纹} \\ (2k+1)\frac{\lambda}{2} & (k=0,1,2,\dots) \dots \text{暗纹} \end{cases}$$

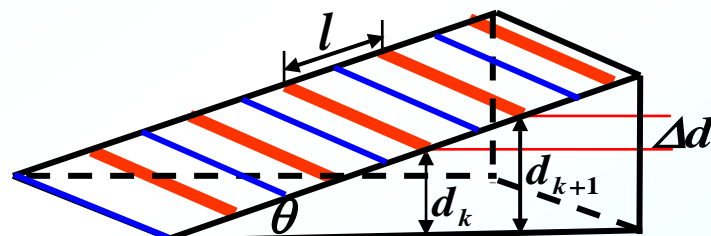


2.等厚干涉 (薄膜厚度不均匀)

1) 劈尖干涉 (空气隙劈尖)

$$2d_k + \frac{\lambda}{2} = k\lambda \quad (k=1,2,\dots) \dots \text{明纹}$$

$$2d_k + \frac{\lambda}{2} = (2k+1)\frac{\lambda}{2} \quad (k=0,1,2,\dots) \dots \text{暗纹}$$

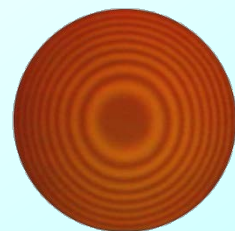
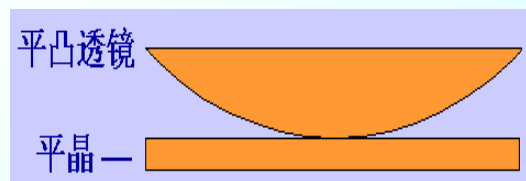


$$\Delta d = \frac{\lambda}{2}$$

$$l = \frac{\lambda}{2 \sin \theta}$$

2) 牛顿环

$$2d_k + \frac{\lambda}{2} = \begin{cases} k\lambda & k = 1,2,\dots \text{明} \\ (2k+1)\frac{\lambda}{2} & k = 0,1,2,\dots \text{暗} \end{cases}$$



暗环半径:

$$r_k = \sqrt{kR\lambda} \quad (k=0,1,\dots)$$

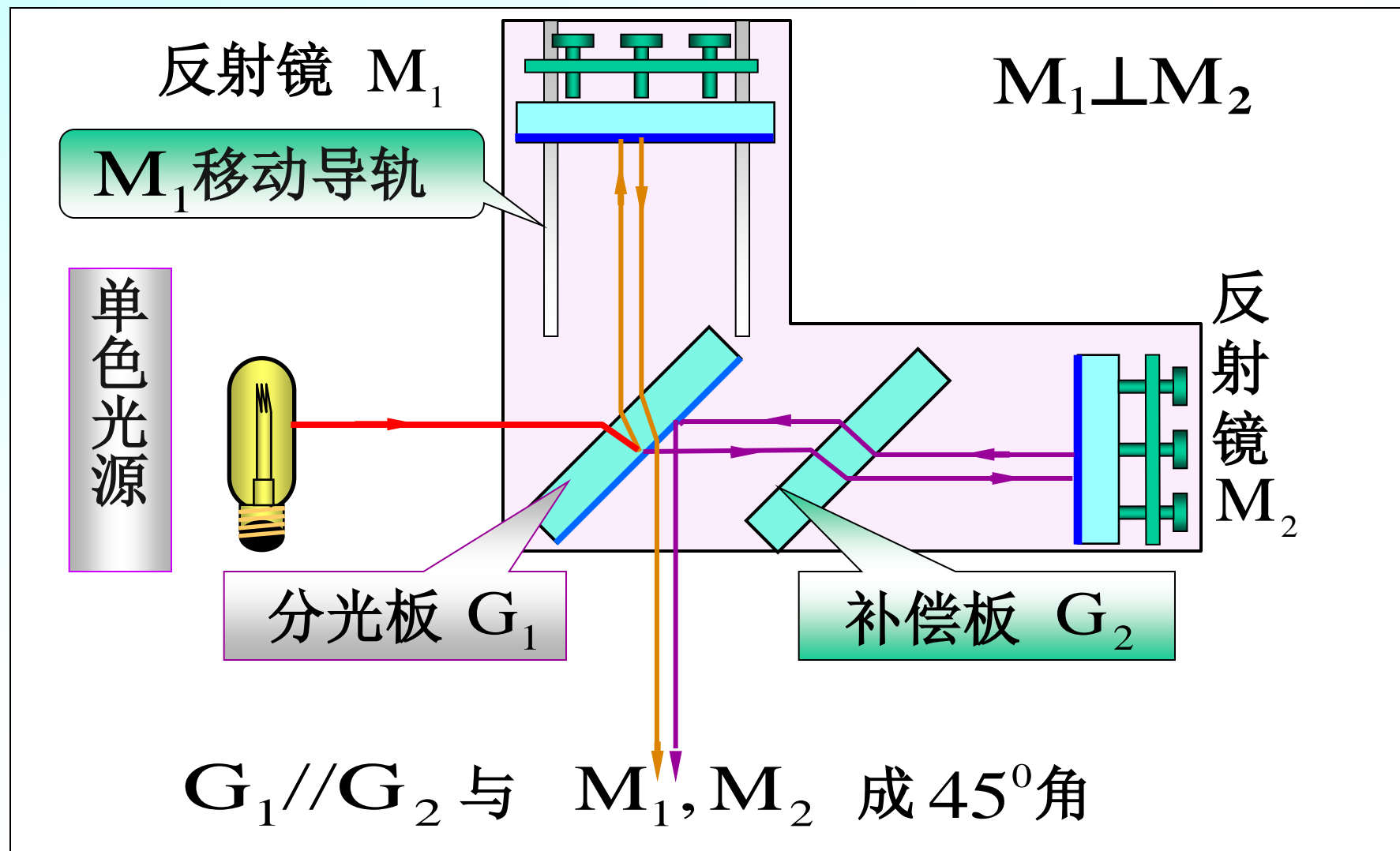
3) 迈克尔孙干涉仪



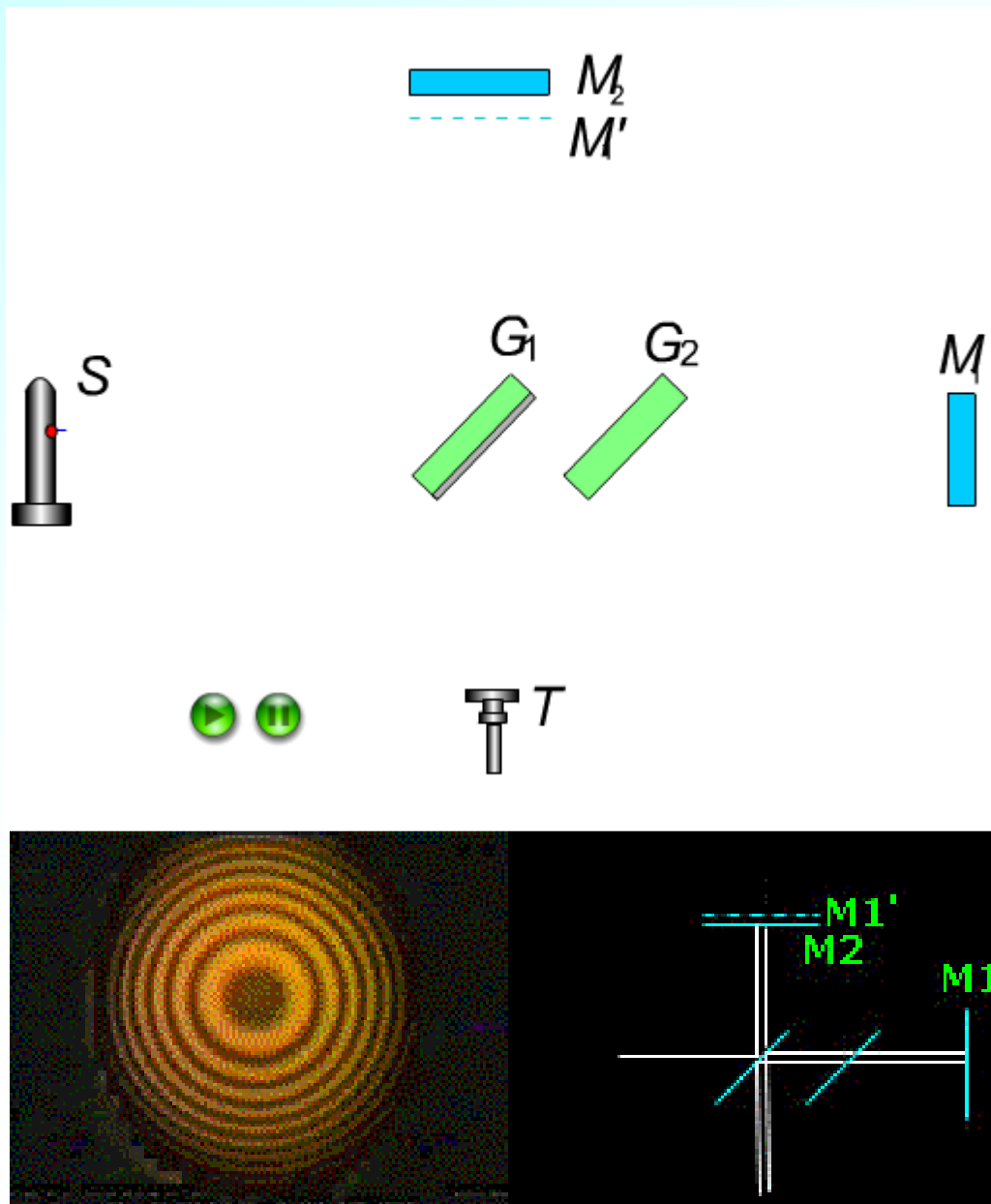
- 1) 利用光的干涉，实现光波波长、微小长度、长度的微小变化等的测量；
- 2) 历史上，寻找“以太”著名的“零结果”，从实验上说明了光速不变；
- 3) 在近代科学技术中也有重要应用。



迈克耳逊干涉仪



$$2d\sqrt{n^2 - n_1^2 \sin^2 i} + \frac{\lambda}{2} = \begin{cases} k\lambda & (k=1,2,\dots) \dots \text{明纹} \\ (2k+1)\frac{\lambda}{2} & (k=0,1,2,\dots) \dots \text{暗纹} \end{cases}$$



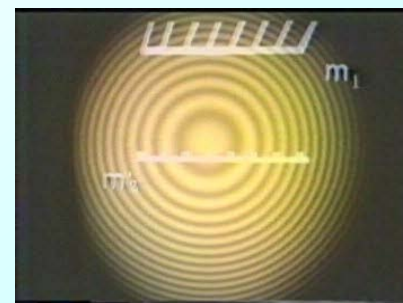
对中央明纹:

$$2d = k\lambda$$

d 每改变 $\lambda/2$, 中心就有一个亮斑冒出或缩进。

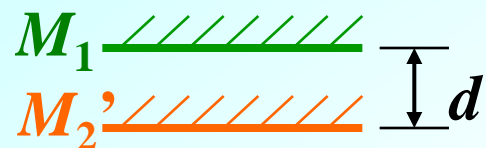
此动画有不准确处?

动画中, $d=0$ 时, 屏幕上应是一片光明, 因为各处的光程差均为0.

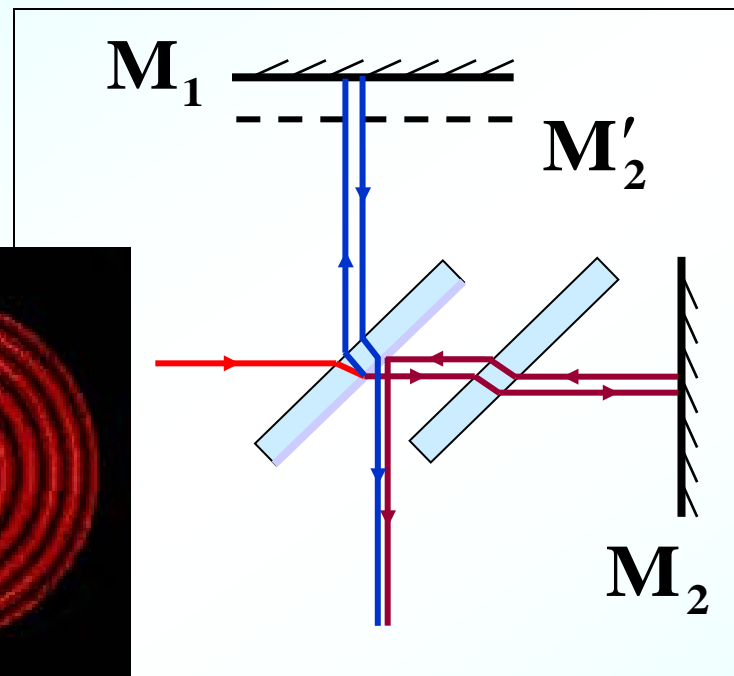


迈克耳逊干涉仪

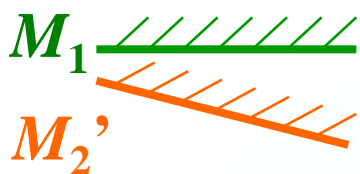
当 $M_1 \perp M_2 \longrightarrow M_1 \parallel M_2'$



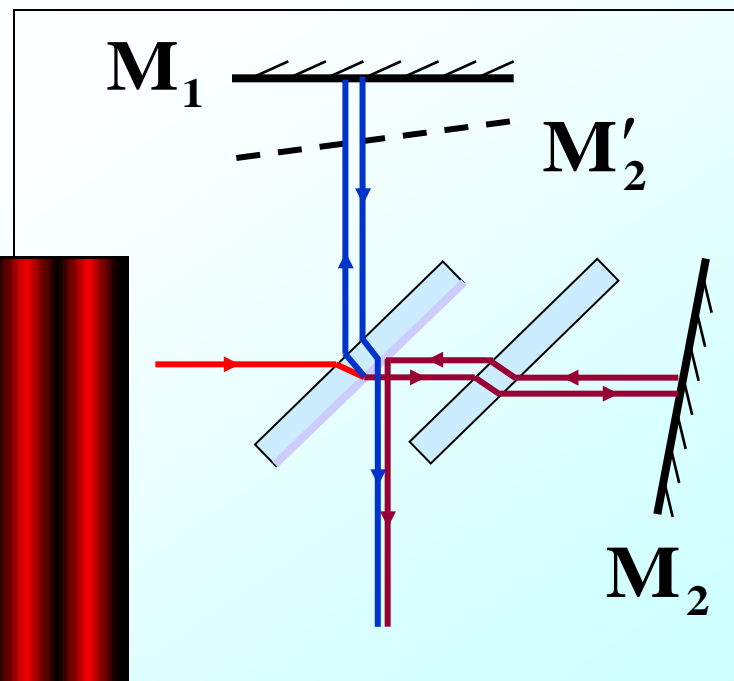
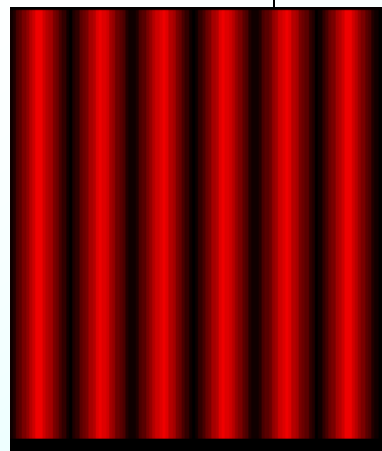
M_1 与 M_2' 形成厚度均匀的薄膜，
——等倾条纹



当 $M_1 \nparallel M_2 \downarrow M_1 \nparallel M_2'$



M_1 与 M_2' 形成一空气隙劈尖，
——等厚条纹



干涉条纹的位置取决于光程差，只要光程差有微小的变化干涉条纹就发生可鉴别的移动。

平移 M_2 ，由中央明纹满足的光程差：

$$\Delta r = 2d = k\lambda$$

知： Δr 改变 ' λ ' 这么长，中心就有一个亮斑冒出或缩进，相当于

M_2 平移 $\frac{\lambda}{2}$

中心有一个亮斑冒出或缩进

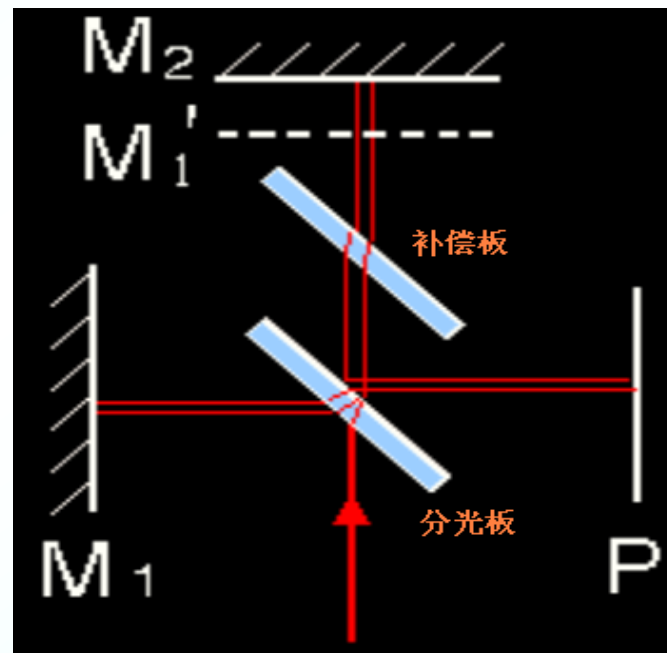
中心冒出或缩进的亮斑数目 N

M_2 平移的距离

$$\Delta d = N \frac{\lambda}{2}$$

$$\Delta d = N \frac{\lambda}{2}$$

$\left\{ \begin{array}{l} \text{已知 } \lambda \text{ 可测 } \Delta d \\ \text{已知 } \Delta d \text{ 可测 } \lambda \end{array} \right.$

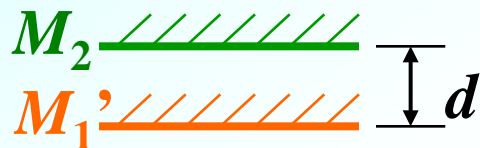


$$M_1 \perp M_2$$

◆ 用迈克耳逊干涉仪可以测量光的波长。

例: 若测得可动反射镜移动距离为 0.3220mm , 等倾干涉条纹在中心处缩进1204个条纹, 求所用光的波长。

解: 当 $M_1 \perp M_2 \longrightarrow M_1' \parallel M_2$



M_1' 与 M_2 形成厚度均匀的薄膜, 出现同心圆环状的等倾干涉条纹。

在中心处, $i=0$, 故有 $\delta_k = 2d_k = k\lambda$

→ 中心处每缩进一个条纹, 移动的距离为 $\Delta d = \frac{\lambda}{2}$

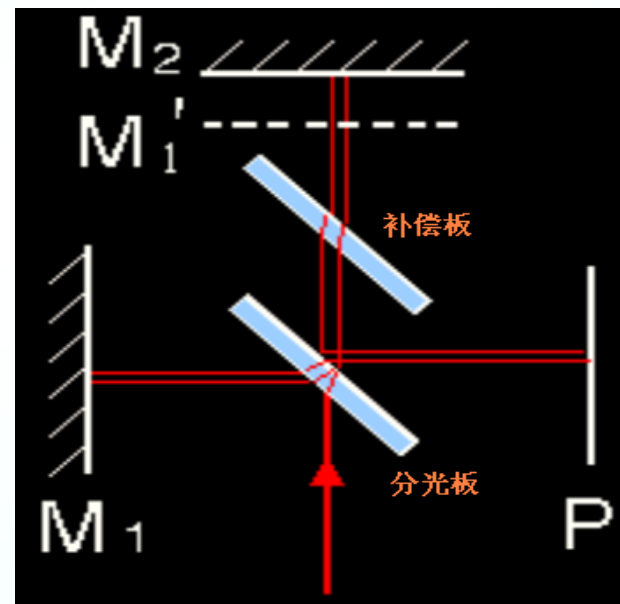
$$N \cdot \Delta d = \Delta L$$

移动的总距离

$$N \cdot \frac{\lambda}{2} = \Delta L$$

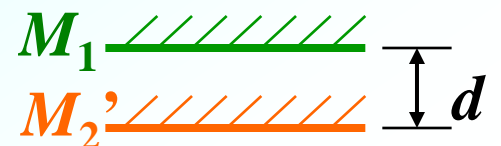
$$\lambda = 2 \cdot \Delta L / N = 2 \times 0.3220 / 1204 \\ = 5.348837209 \times 10^{-4} \text{mm}$$

$$\therefore \lambda = 534.9 \text{nm}$$

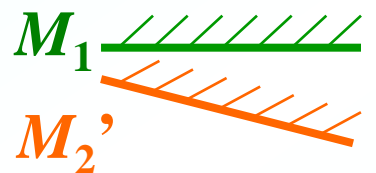


$$\delta = 2d \sqrt{n^2 - n_1^2 \sin^2 i}$$

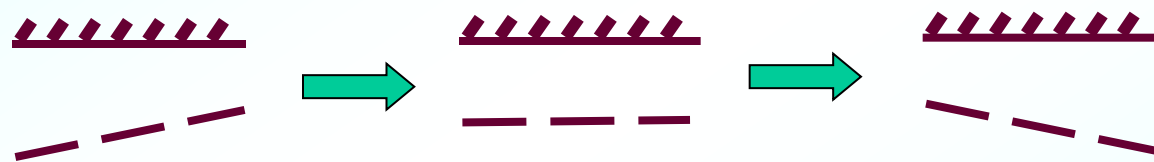
例：用迈克耳逊干涉仪做干涉实验，入射光的波长为 λ 。在转动反射镜 M_2 的过程中，在总的干涉区域宽度 L 内，观察到的完整的**直线状干涉条纹**数从 N_1 开始减少，而后突变为**同心圆环状**的等倾干涉条纹。若继续同方向转动 M_2 ，又会看到由疏变密的直线干涉条纹，直到在宽度 L 内有 N_2 条完整的干涉条纹为止。在此过程中 M_2 转过的角度是多少？ **解：**

当 $M_1 \perp M_2 \longrightarrow M_1 \parallel M_2'$ 

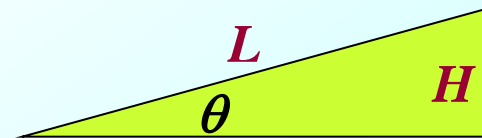
M_1 与 M_2' 形成厚度均匀的薄膜，出现同心圆环状的等倾干涉条纹。

当 $M_1 \not\perp M_2 \longrightarrow M_1 \not\parallel M_2'$ 

M_1 与 M_2' 形成一空气劈尖，出现直线状的等厚干涉条纹。



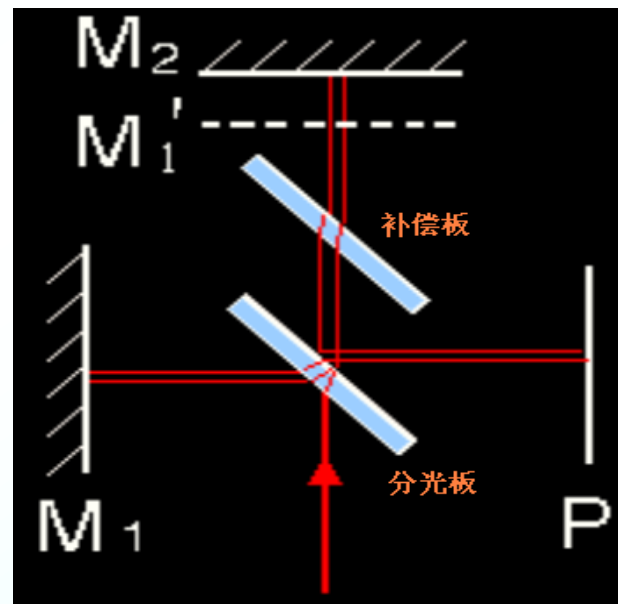
$\delta_k = 2d_k = k\lambda \longrightarrow$ 相邻两**明纹**对应的厚度差为： $\Delta d = \frac{\lambda}{2}$



$$\theta_1 = \frac{H_1}{L} = \frac{(N_1 - 1) \cdot \Delta d}{L} = \frac{(N_1 - 1) \cdot \lambda / 2}{L}$$

$$\theta_2 = \frac{H_2}{L} = \frac{(N_2 - 1) \cdot \Delta d}{L} = \frac{(N_2 - 1) \cdot \lambda / 2}{L}$$

$$\begin{aligned} \Delta\theta &= \theta_1 + \theta_2 \\ &= \frac{(N_1 + N_2 - 2)\lambda}{2L} \end{aligned}$$



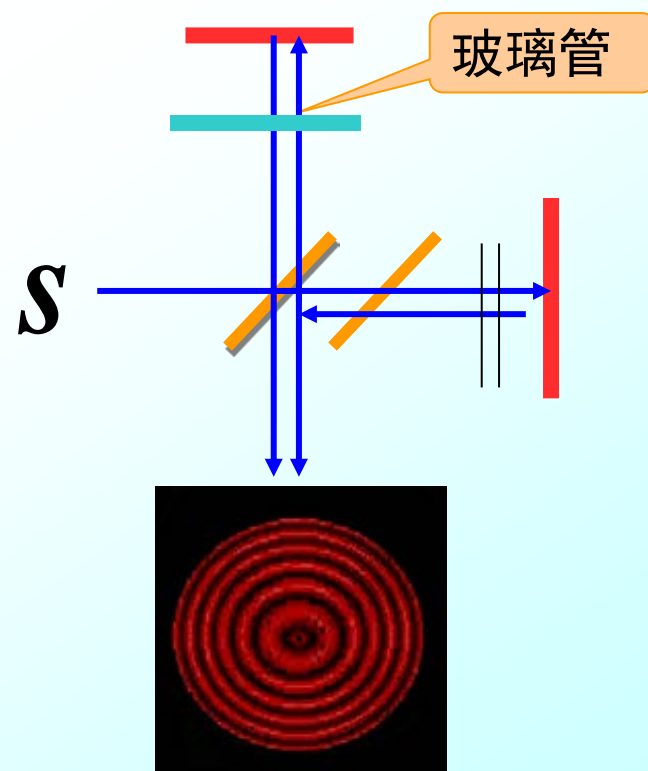
例：在迈克耳孙干涉仪的两臂中，分别插入 $l=10.0\text{cm}$ 长的玻璃管，其中一个抽成真空，另一个则储有压强为 $1.013\times 10^5\text{Pa}$ 的空气，用以测量空气的折射率 n 。设所用光波波长为 546nm ，实验时，向真空玻璃管中逐渐充入空气，直至压强达到 $1.013\times 10^5\text{Pa}$ 为止。在此过程中，观察到107.2条干涉条纹的移动，试求空气的折射率 n 。

解： $\delta_1 - \delta_2 = 2(n-1)l = 107.2\lambda$

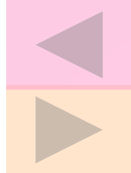
$$n = 1 + \frac{107.2\lambda}{2l} = 1 + \frac{107.2 \times 546 \times 10^{-7} \text{cm}}{2 \times 10.0 \text{cm}} = 1.00029$$



$\delta = N\lambda$ 知 ‘ δ ’ 改变 ‘ λ ’ 这么长，就有一条明纹移动。



光波的衍射

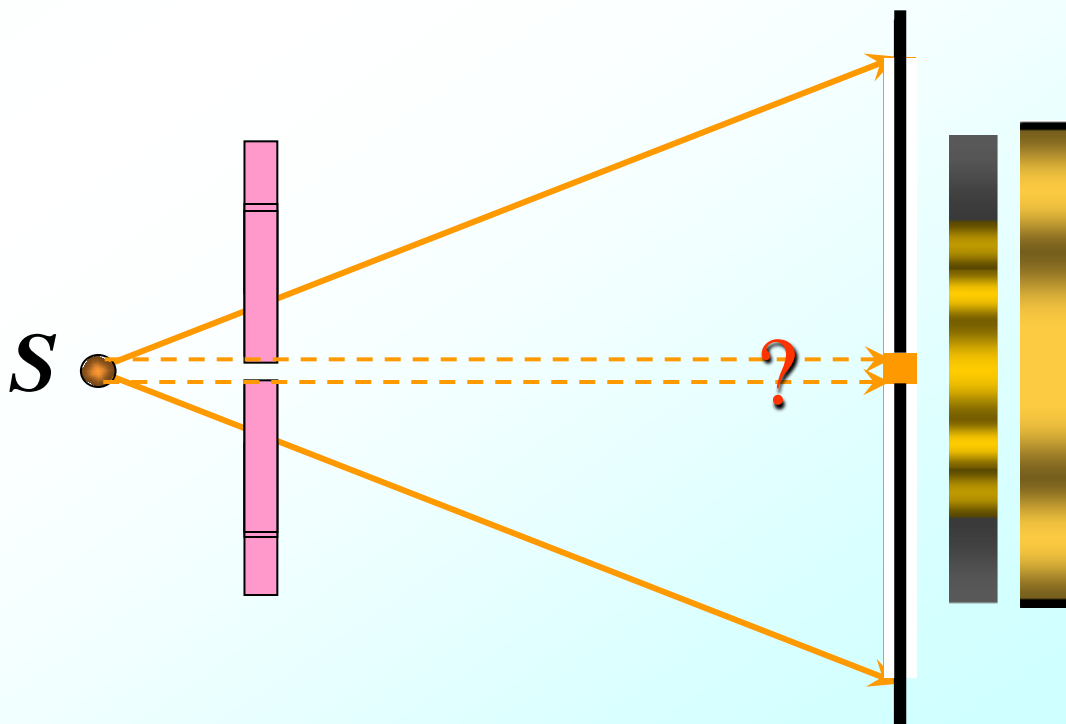


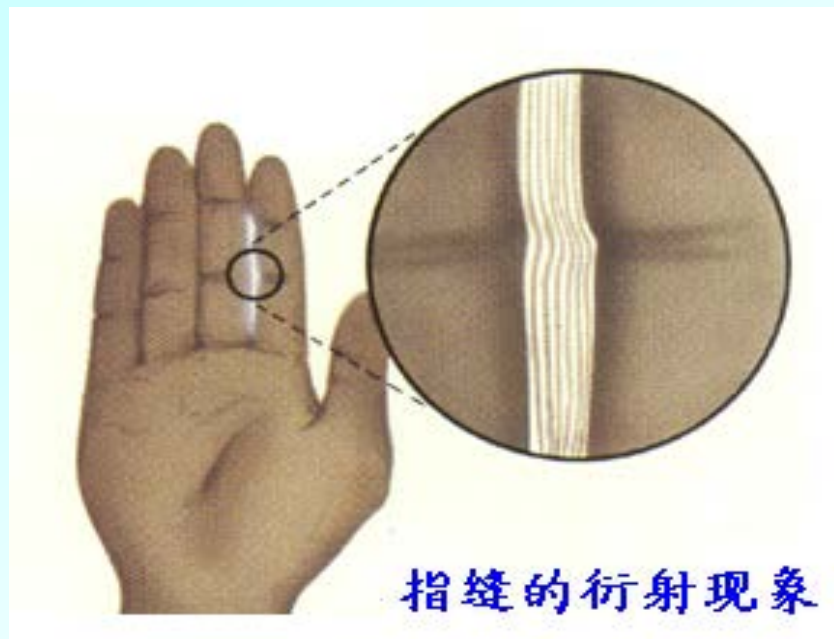
一、光的衍射现象

波的衍射现象：波在传播过程中遇到障碍物，能够绕过障碍物的边缘而偏离直线传播的现象。

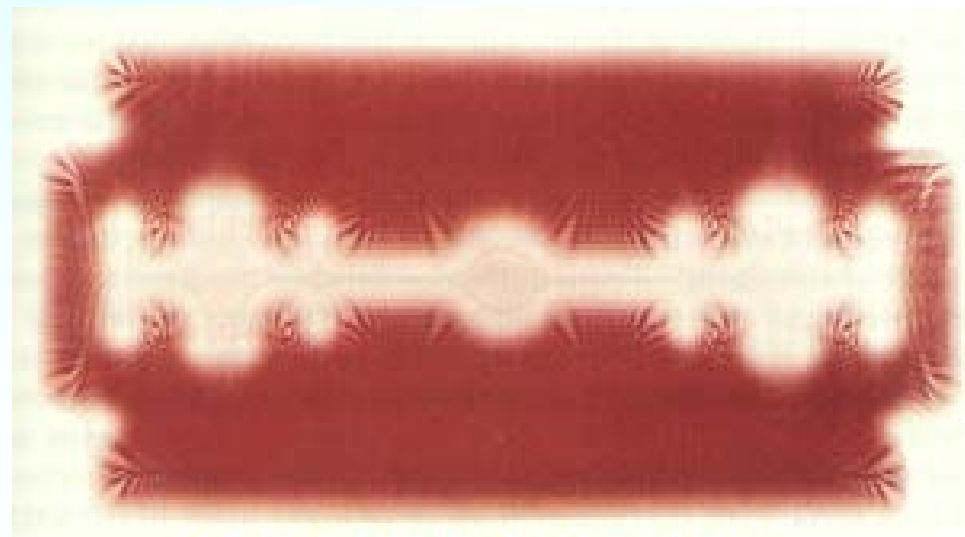
1. 现象

光在传播过程中遇到尺寸比光的波长大得不多的障碍物时，光会传到障碍物的阴影区并形成明暗变化的光强分布的现象。

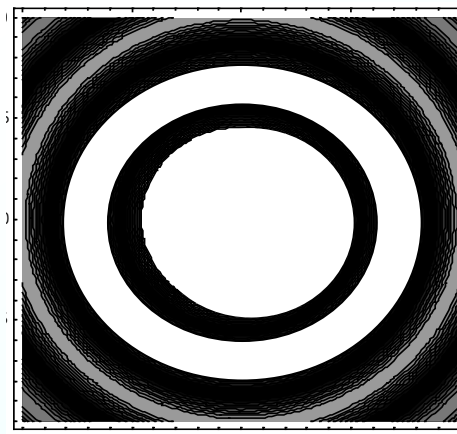
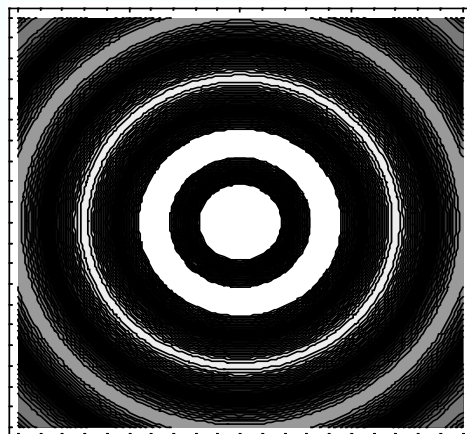




指縫的衍射現象

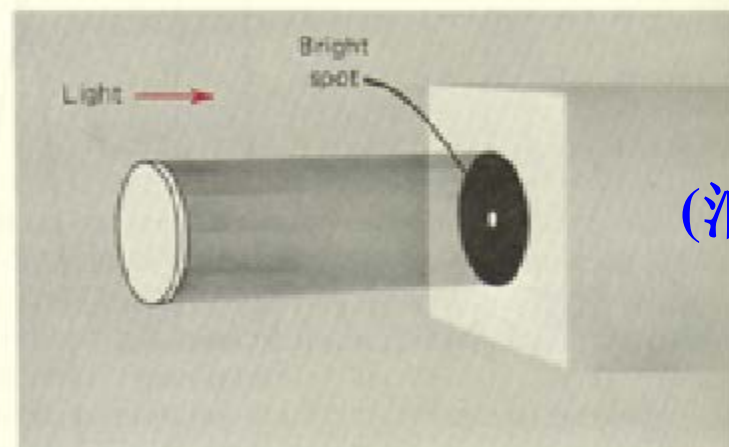
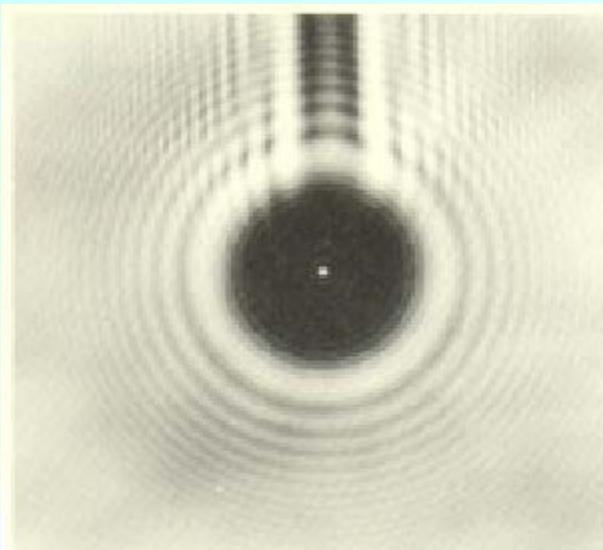


剃須刀片的衍射現象

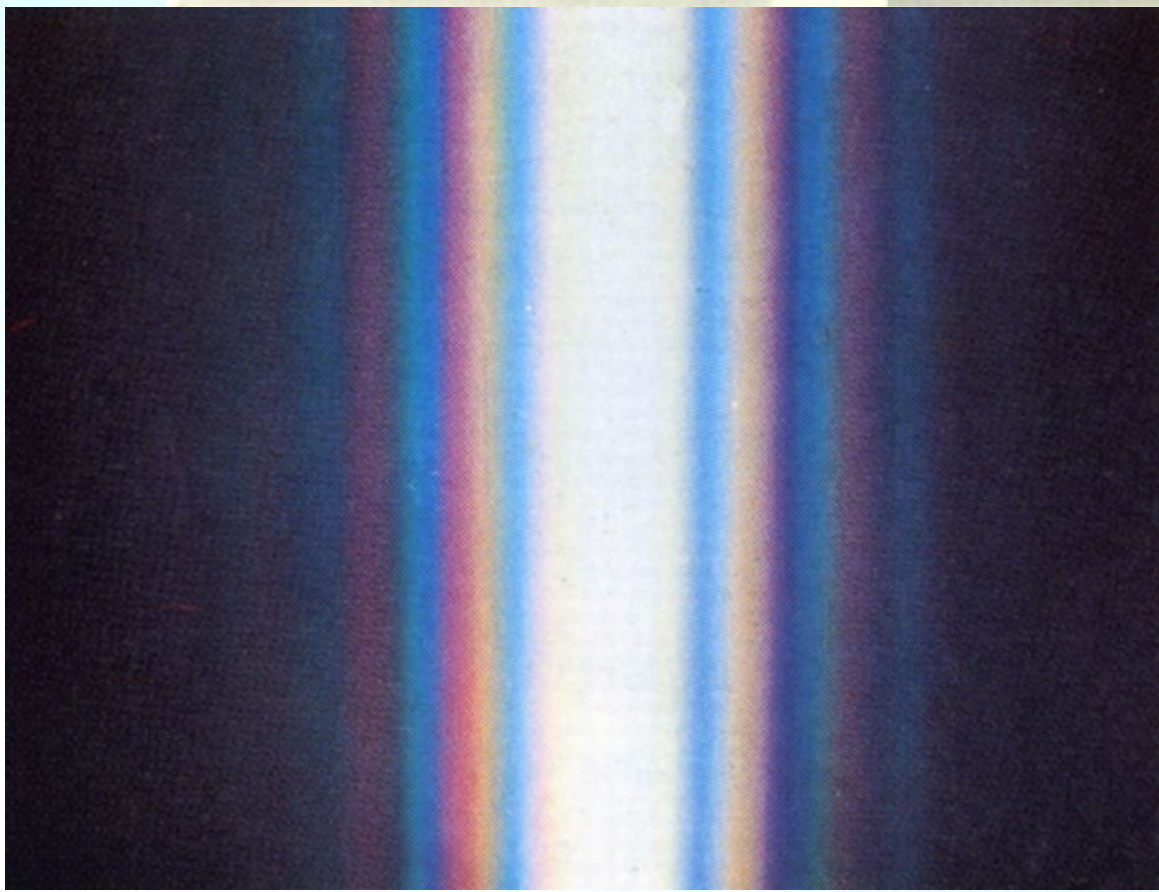


圓孔衍射現象

圆盘的衍射现象



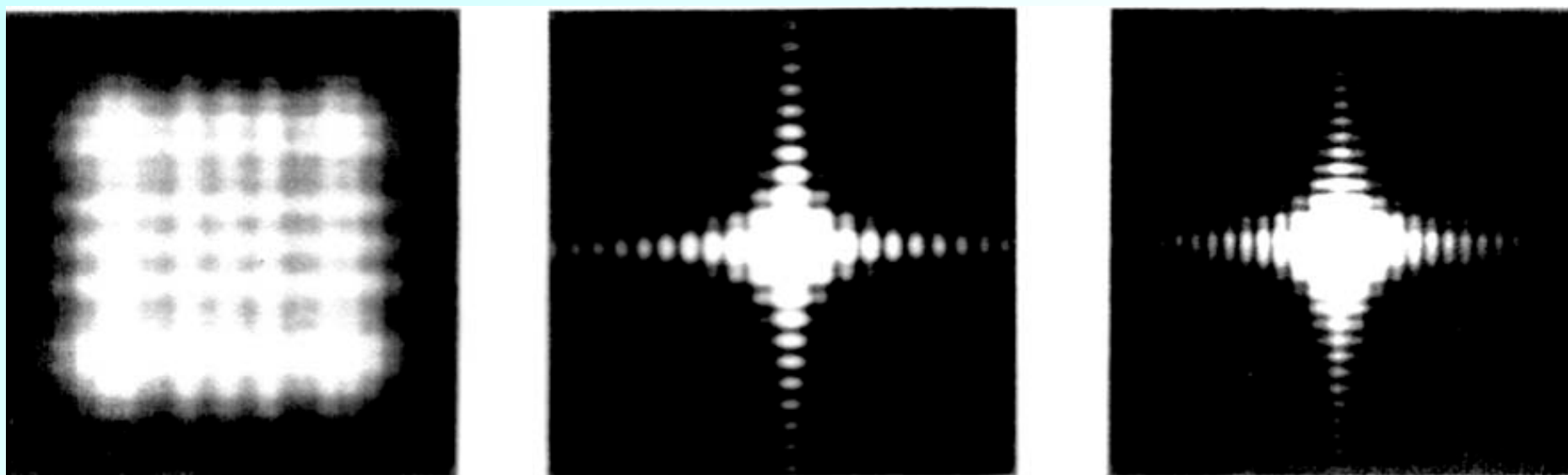
(泊松亮斑)



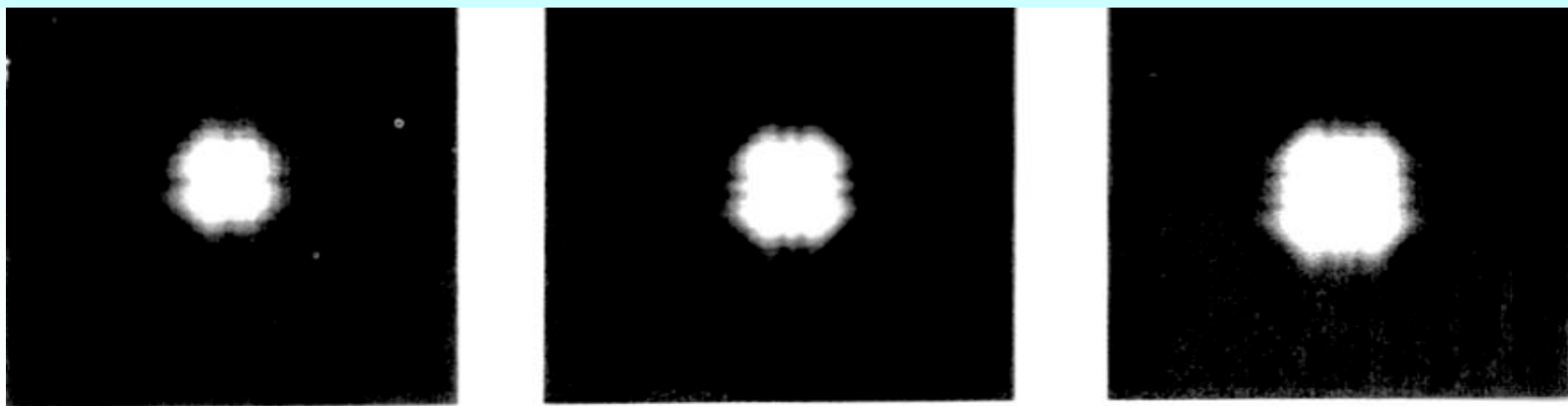
1818年，巴黎科学院举行以解释衍射现象为内容的有奖竞赛，年轻的菲涅耳提出了惠更斯-菲涅耳原理，并出人意料地取得了优胜，开始了光的波动说的兴旺时期。

杨氏双缝干涉(1801年)

单缝衍射(白光)



再比如：夜晚看远处的灯光不是一个点，而是光芒四射。原因是由于瞳孔边缘使光发生了衍射。



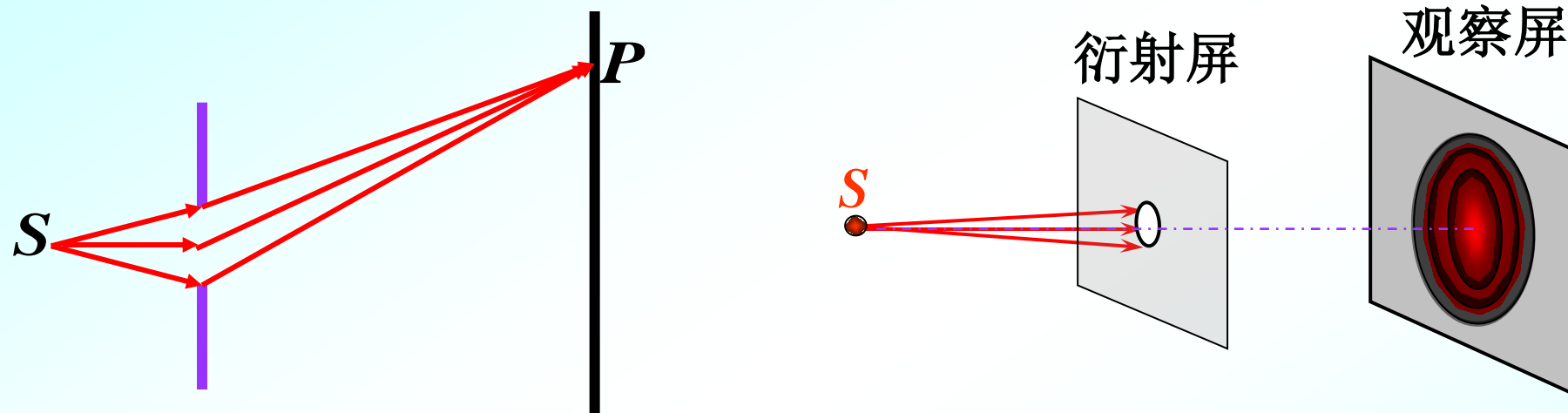
方孔菲涅耳衍射

显然，夫朗和费衍射是菲涅尔衍射的一个特例。

2. 衍射分类

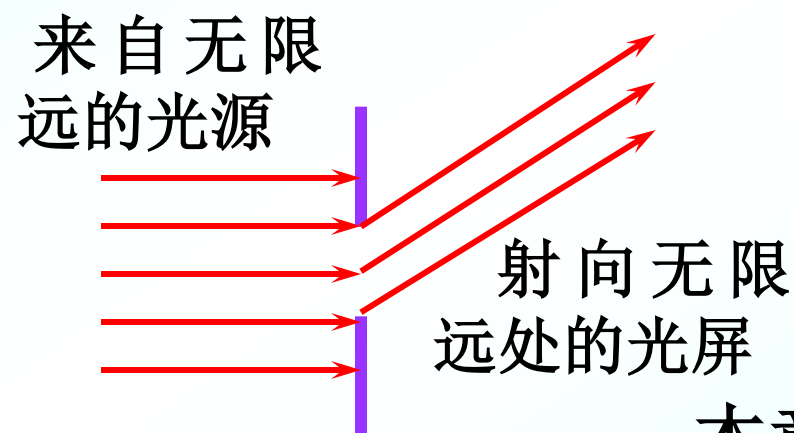
(1) 菲涅尔衍射

近场衍射



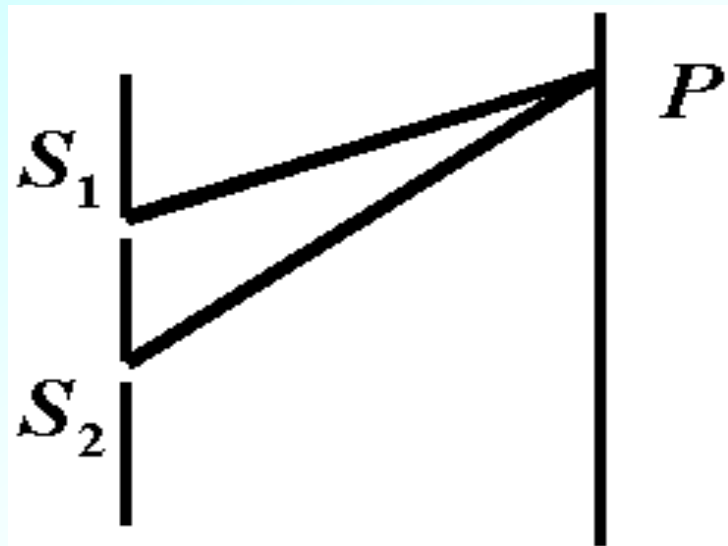
(2) 夫朗和费衍射

远场衍射

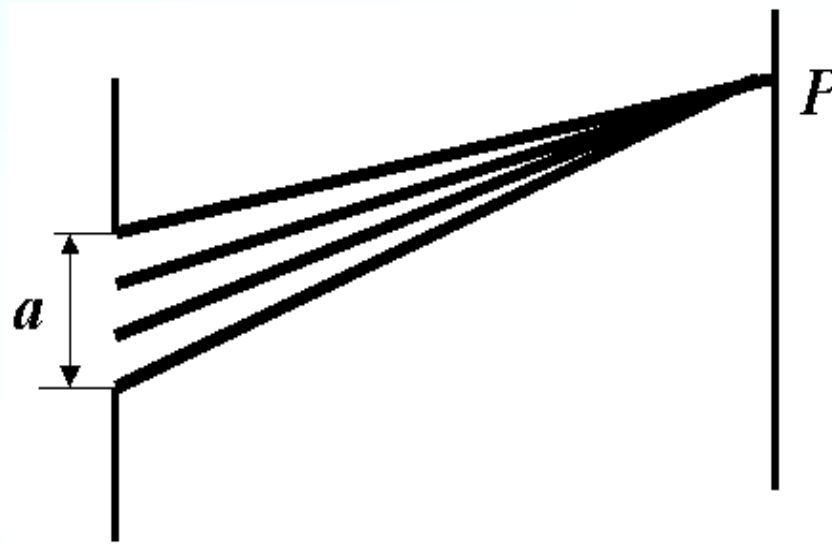


本章只研究夫朗和费衍射。

干涉与衍射的区别



干涉: 有限子波迭加干涉

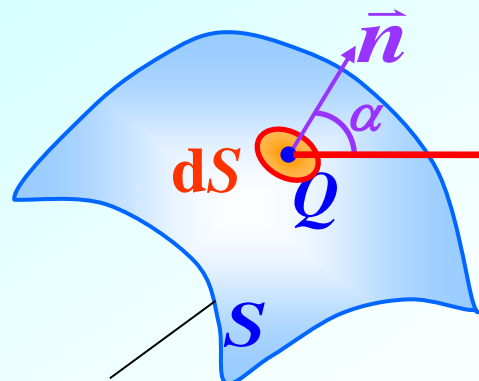


衍射: 无限子波迭加干涉

惠更斯——菲涅耳原理



波传到的任何一点都是子波的波源，**各子波在空间某点的相干叠加，决定该点波的强度。**



设初相为零

$$dE_P = dy \propto \frac{a(Q)f(\alpha)}{r} dS$$

方向因子 $f(\alpha)$:

$a(Q)$ 取决于波前
上 Q 点处的强度

$$\begin{cases} \alpha = 0, f = f_{\max} \\ \alpha \uparrow \Rightarrow f(\alpha) \downarrow \\ \alpha \geq \frac{\pi}{2}, f = 0 \end{cases}$$

$$dy = c \frac{a(Q)f(\alpha)}{r} dS \cdot \cos\left(\omega t - \frac{2\pi r}{\lambda}\right) \quad (c \text{——比例系数})$$

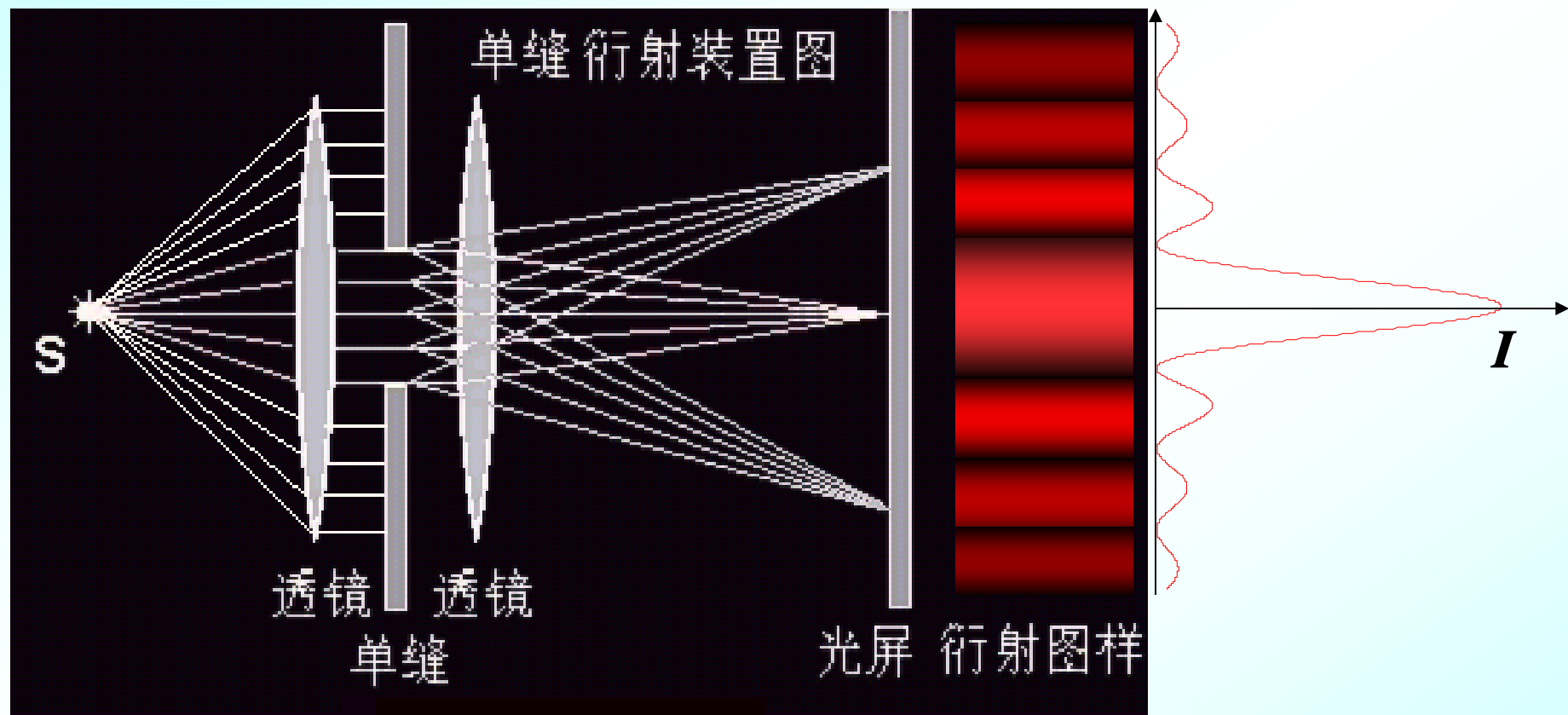
$$y_P = c \int_S \frac{a(Q)f(\alpha)}{r} \cos\left(\omega t - \frac{2\pi r}{\lambda}\right) dS = E_{0P} \cos(\omega t + \varphi_P)$$

菲涅耳衍射积分公式

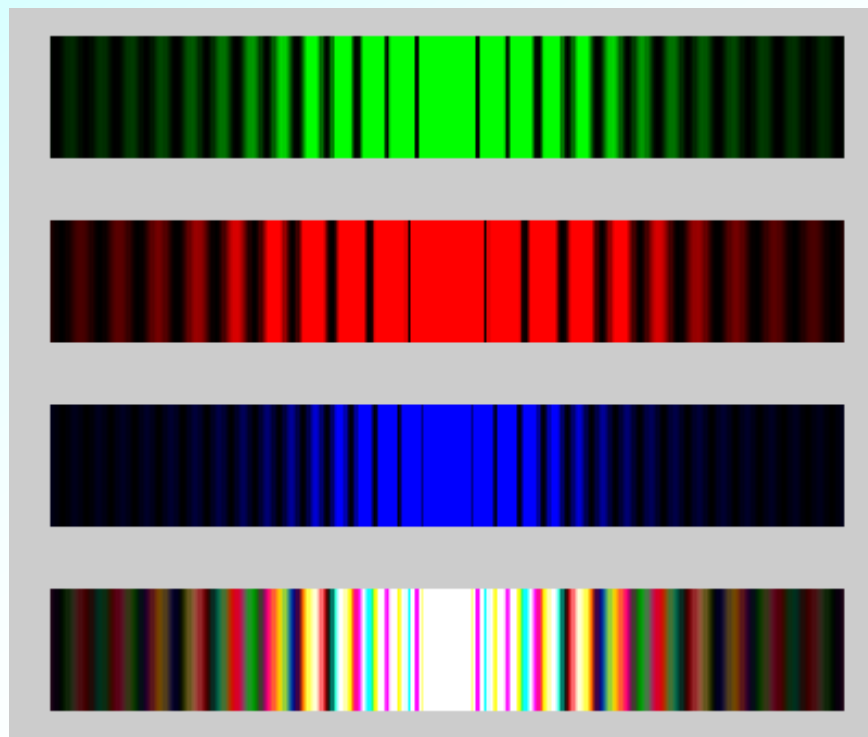
P 处波的强度

$$I_P \propto E_{0P}^2$$

三. 单缝夫朗和费衍射



要研究的问题 { 明暗条纹位置分布
条纹强度分布



S 为线光源时的衍射图样



S 为点光源时的衍射图样

3.1 衍射光强的计算 (方法一：惠更斯——菲涅耳原理)

S : 单色光源

θ : 衍射角

$\overline{AB} = a$ (缝宽) $\ll f$

$$C \frac{A(Q)f(\theta)}{r} \approx C'$$

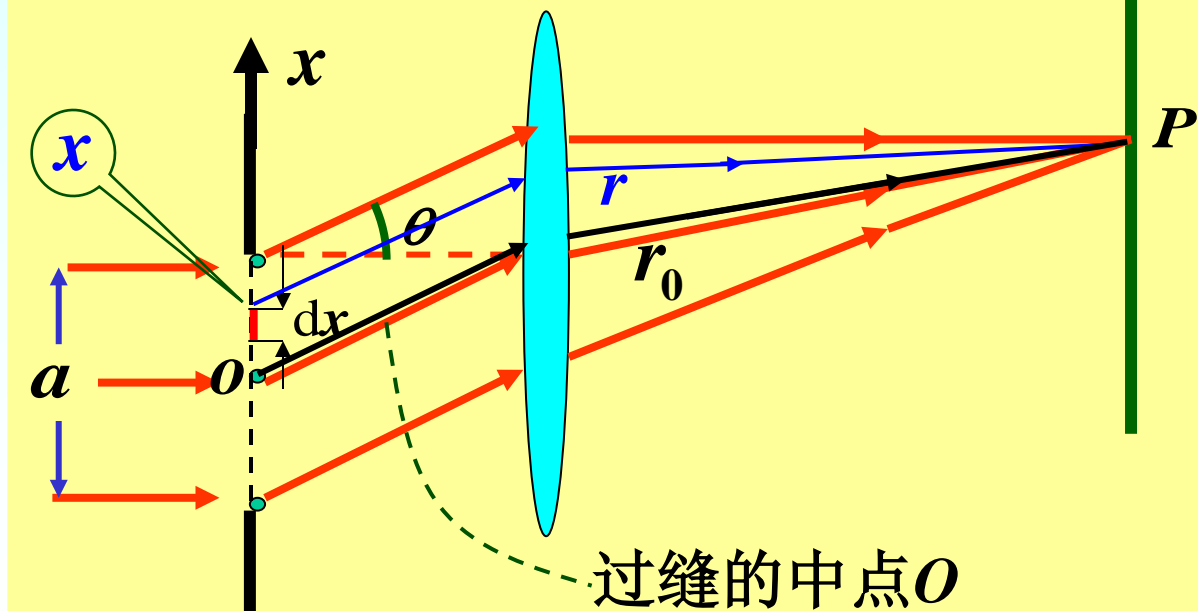
$$E_{(p)} = C \iint_{s_a/2}^r \frac{A(Q) \cdot f(\theta)}{r} \cdot \cos\left(\omega t - \frac{2\pi r}{\lambda}\right) \cdot dS$$

$$= C'' \int_{-a/2}^{a/2} \cos\left(\omega t - \frac{2\pi r}{\lambda}\right) \cdot dx \quad dS = l dx \quad r = r_0 - x \sin \theta$$

$$= E_0 \frac{\sin \alpha}{\alpha} \cos 2\pi \left(\frac{t}{T} - \frac{r_0}{\lambda} \right) \text{ 其中: } E_0 = C'' a$$

$$\alpha = \frac{\pi a \sin \theta}{\lambda}$$

p 点的合振幅为: $E_{p_\theta} = E_0 \frac{\sin \alpha}{\alpha}$ p 点的光强为: $I_\theta = I_0 \left(\frac{\sin \alpha}{\alpha} \right)^2$



3.2 衍射光强的计算

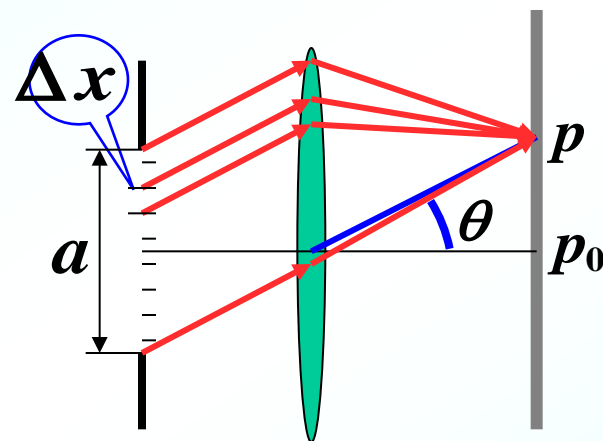
(方法二: 振幅矢量叠加法)

将缝分成 N 个等宽窄条, 宽度 $\Delta x = \frac{a}{N}$

每窄条视为子波波源, 在 P 点光振动

振幅为 ΔE_0 (每个窄条的近似视为相等)

相邻两窄条引起的位相差为 $\Delta\phi = \frac{2\pi}{\lambda} \Delta x \sin\theta$



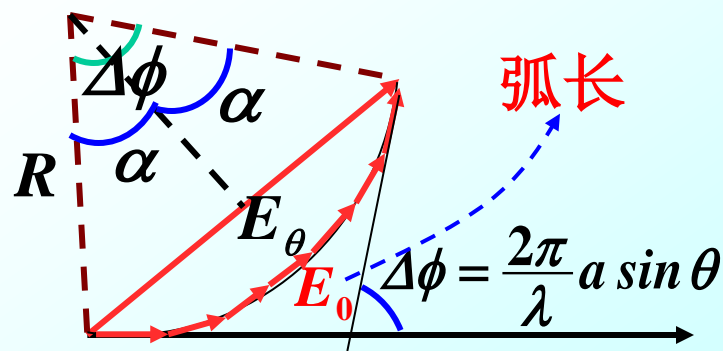
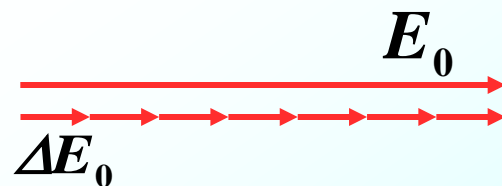
$$p_0 \longrightarrow \sin\theta=0 \quad \Delta\phi=0$$

$$p \longrightarrow \Delta\phi = \frac{2\pi}{\lambda} \Delta x \sin\theta \neq 0$$

$N \rightarrow \infty$ 振幅链条变成圆弧

$$\because \frac{E_0}{R} = \Delta\phi = 2\alpha \quad \therefore R = \frac{E_0}{2\alpha}$$

$$E_\theta = 2R \sin\alpha = E_0 \frac{\sin\alpha}{\alpha}$$



$$\because I_\theta \propto E_\theta^2 \quad \therefore I_\theta = I_0 \left(\frac{\sin\alpha}{\alpha} \right)^2$$

$$\text{其中 } \alpha = \frac{\Delta\phi}{2} = \frac{\pi a \sin\theta}{\lambda}$$

对于任意点P: $\Delta\varphi = \frac{\Delta x \sin\theta}{\lambda} 2\pi$

合振幅可用复数形式表示:

$$E_p = E_1 + E_1 e^{i\eta} + E_1 e^{i2\eta} + \dots + E_1 e^{i(N-1)\eta}$$

$$= E_1 [1 + e^{i\eta} + e^{i2\eta} + \dots + e^{i(N-1)\eta}]$$

$$= E_1 \frac{e^{iN\eta} - 1}{e^{i\eta} - 1}$$

$$\xi = \frac{\pi a \sin\theta}{N\lambda}$$

$$\alpha = \frac{\pi a \sin\theta}{\lambda}$$

$$\vec{E}_P = \sum_{i=1}^N \vec{E}_i$$

$$\Delta\varphi = \frac{\Delta x \sin\theta}{\lambda} 2\pi$$

$$\Delta\varphi = \eta = \frac{\Delta x \sin\theta}{\lambda} 2\pi = 2\xi$$

$$\eta = 2\xi$$

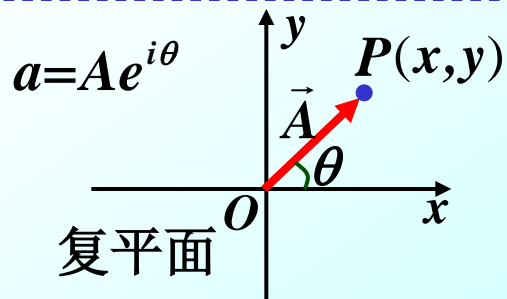
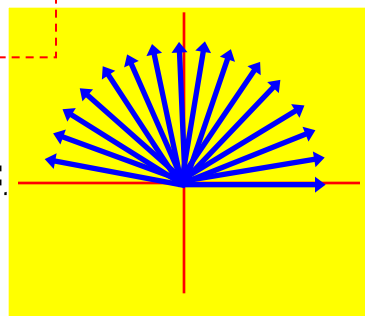
P点的光强:

$$I = E_p \cdot E_p^* = E_1 \frac{e^{iN\eta} - 1}{e^{i\eta} - 1} \cdot E_1 \frac{e^{-iN\eta} - 1}{e^{-i\eta} - 1} =$$

$$= E_1^2 \left(\frac{\sin N\xi}{\sin \xi} \right)^2 = E_1^2 \left(\frac{\sin \frac{\pi a \sin\theta}{\lambda}}{\sin \xi} \right)^2$$

($N \rightarrow \infty$)

$$= E_1^2 N^2 \left(\frac{\sin \frac{\pi a \sin\theta}{\lambda}}{\pi a \sin\theta} \right)^2 \text{ 即 } P \text{ 点处: } I = I_0 \left(\frac{\sin \alpha}{\alpha} \right)^2$$



$$\vec{A} \longleftrightarrow a = A \cos\theta + i A \sin\theta$$

$$\vec{A} + \vec{B} = A e^{i\theta} + B e^{i\beta}$$

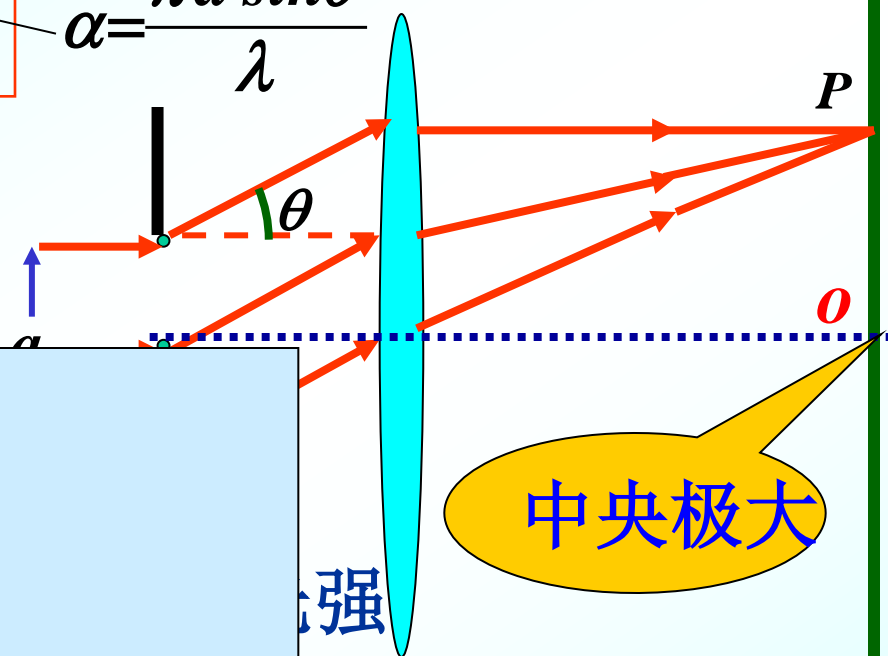
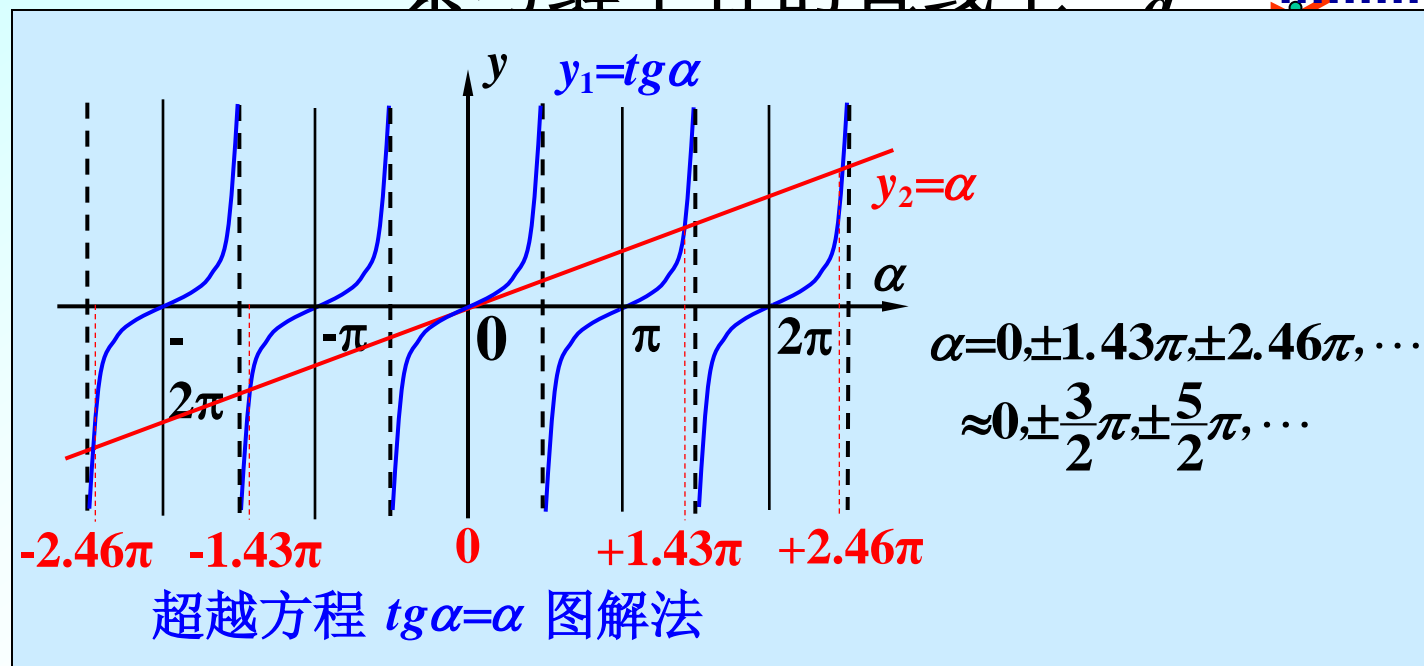
$$e^{i\theta} = \cos\theta + i \sin\theta$$

3.3 光强分布:



$$I_{\theta} = I_0 \left(\frac{\sin \alpha}{\alpha} \right)^2 \quad \alpha = \frac{\pi a \sin \theta}{\lambda}$$

- 1) 在屏上 θ 角相同处光强相同
即: 相同光强的点分布在
一条与缝平行的直线上



光强

$k \neq 0$

暗纹条件

暗条纹

- 4) 当 $\frac{d}{d\alpha} \left(\frac{\sin \alpha}{\alpha} \right)^2 = 0 \rightarrow \tan \alpha = \alpha$ 光强有极大值 $k=1, 2, \dots$

解得: $\alpha = \pm 1.43\pi, \pm 2.46\pi, \pm 3.47\pi, \dots$

相应: $a \sin \theta = \pm 1.43\lambda, \pm 2.46\lambda, \pm 3.47\lambda, \dots$

$$a \sin \theta = \pm (2k+1) \frac{\lambda}{2}$$

衍射次极大

主极大: $a \sin \theta = 0$ 衍射次极大: $a \sin \theta = \pm (2k+1) \frac{\lambda}{2}$

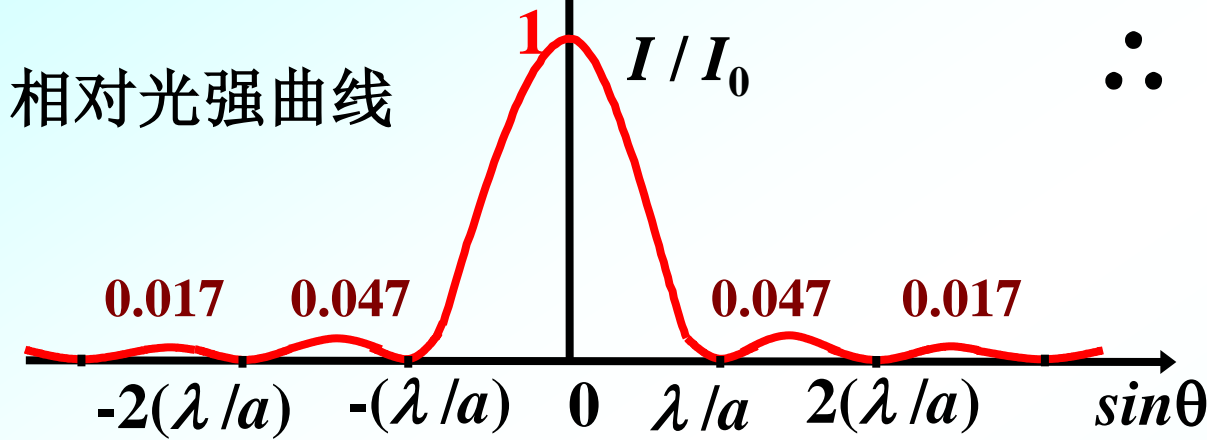
$$I_{\theta} = I_0 \left(\frac{\sin \alpha}{\alpha} \right)^2$$

5) 光强 : 中央主极大的光强: $I_{Max} = I_0 \propto (C'' a)^2$

$$\alpha = \frac{\pi a \sin \theta}{\lambda}$$

次极大的光强: 从中央往外各次极大的光强依次为

$$0.0472 I_0, 0.0165 I_0, 0.0083 I_0, \dots$$



$$\therefore I_{\text{次极大}} \ll I_{\text{主极大}}$$

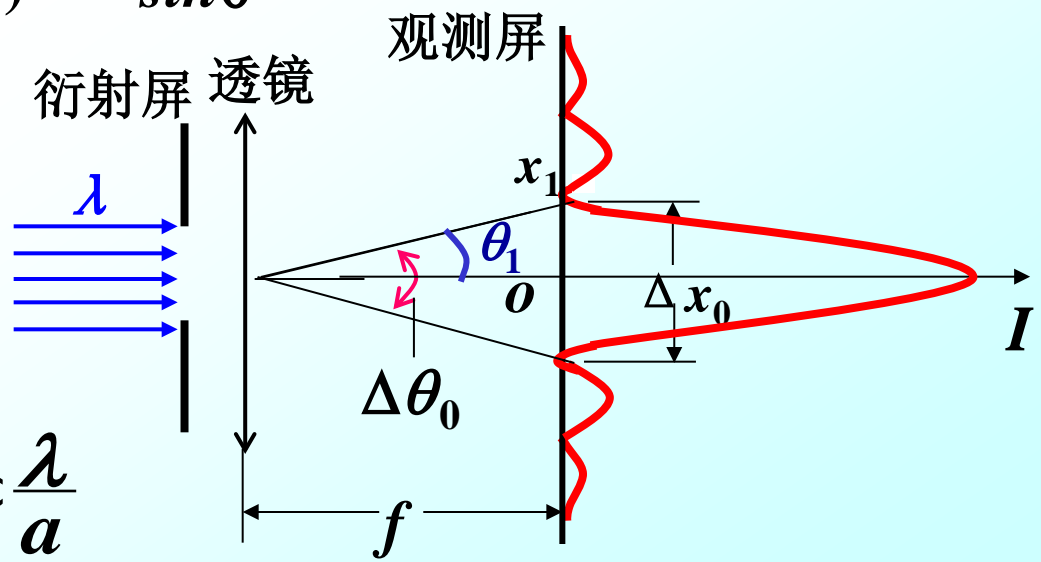
$$a \sin \theta = \pm k \lambda$$

6) 条纹宽度

中央明纹: $a \gg \lambda$ 时, $\sin \theta_1 \approx \theta_1$

角宽度 $\Delta \theta_0 = 2\theta_1 \approx 2 \frac{\lambda}{a}$

线宽度 $\Delta x_0 = 2f \cdot \tan \theta_1$
 $= 2f \theta_1 = 2f \frac{\lambda}{a} \propto \frac{\lambda}{a}$



次极大条纹的宽度:

$$\Delta\theta = \theta_{k+1} - \theta_k \approx \frac{\lambda}{a} = \frac{1}{2}\Delta\theta_0$$

$$\Delta x \approx \frac{f\lambda}{a} = \frac{1}{2}\Delta x_0$$

结论: 次极大条纹的宽度是
中央主极大宽度的一半。

讨论

* 波长对条纹宽度的影响

$\Delta x \propto \lambda$ 波长越长, 条纹宽度越宽

** 缝宽变化对条纹的影响

$\Delta x = \frac{1}{2}\Delta x_0 = f \frac{\lambda}{a}$ 缝宽越小, 条纹宽度越宽

当 $\frac{a}{\lambda} \rightarrow 0$ 时 屏幕是一片明亮

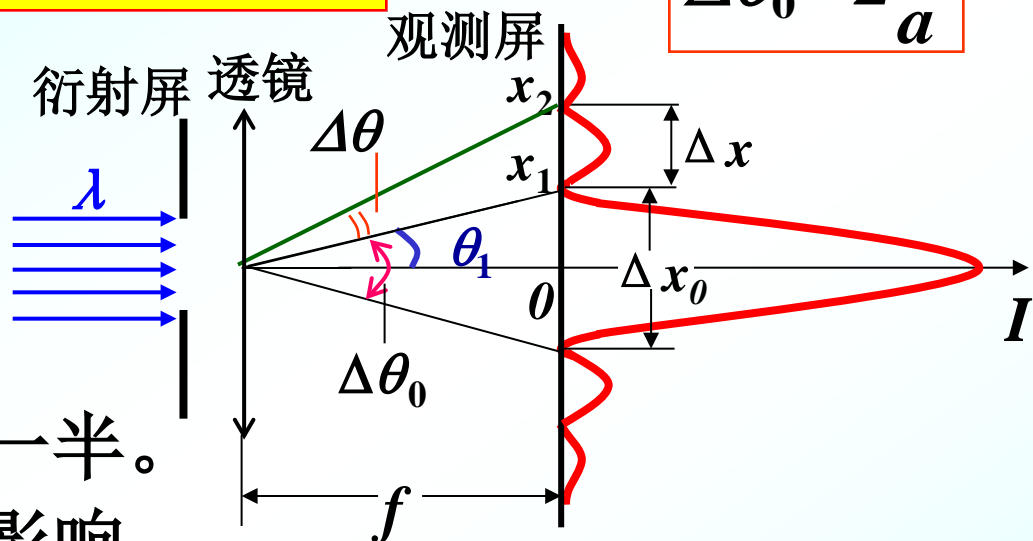
当 $\frac{\lambda}{a} \rightarrow 0$ 时, $\Delta x \rightarrow 0$

只显出单一的明条纹 —— 单缝的几何光学像

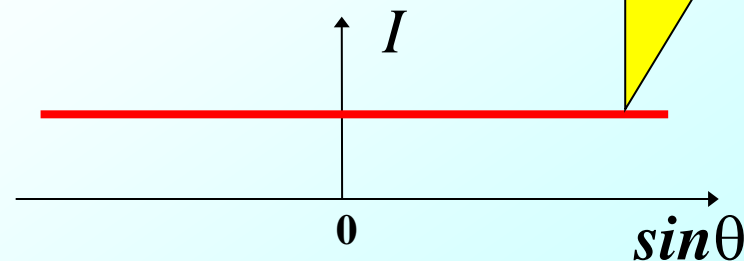
\therefore 几何光学是波动光学在 $\lambda/a \rightarrow 0$ 时的极限情形

$$a \sin \theta = \pm k \lambda$$

$$\Delta\theta_0 \approx 2 \frac{\lambda}{a}$$



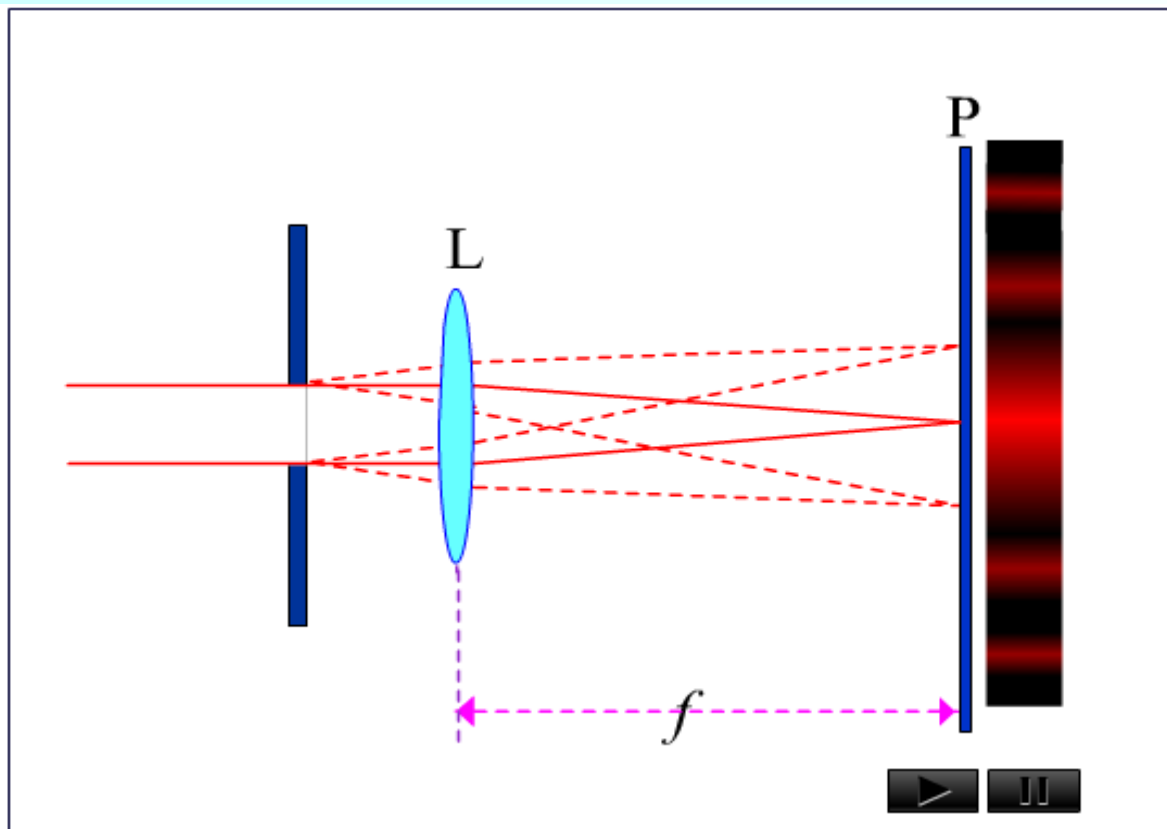
中央极大占据了
整个屏幕



缝宽变化对条纹的影响:

$$\Delta x \propto \frac{1}{a}$$

$$\Delta x_0 \propto \frac{\lambda}{a}$$



缝宽越小，条纹展得越开，衍射作用愈显著。

缝宽越大，条纹向中央明纹靠拢，衍射作用愈不显著。

当 $\frac{\lambda}{a} \rightarrow 0$ 时, $\Delta x \rightarrow 0$

只显出单一的明条纹
——单缝的几何光学像

几何光学是波动光学在 $\lambda/a \rightarrow 0$ 时的极限情形

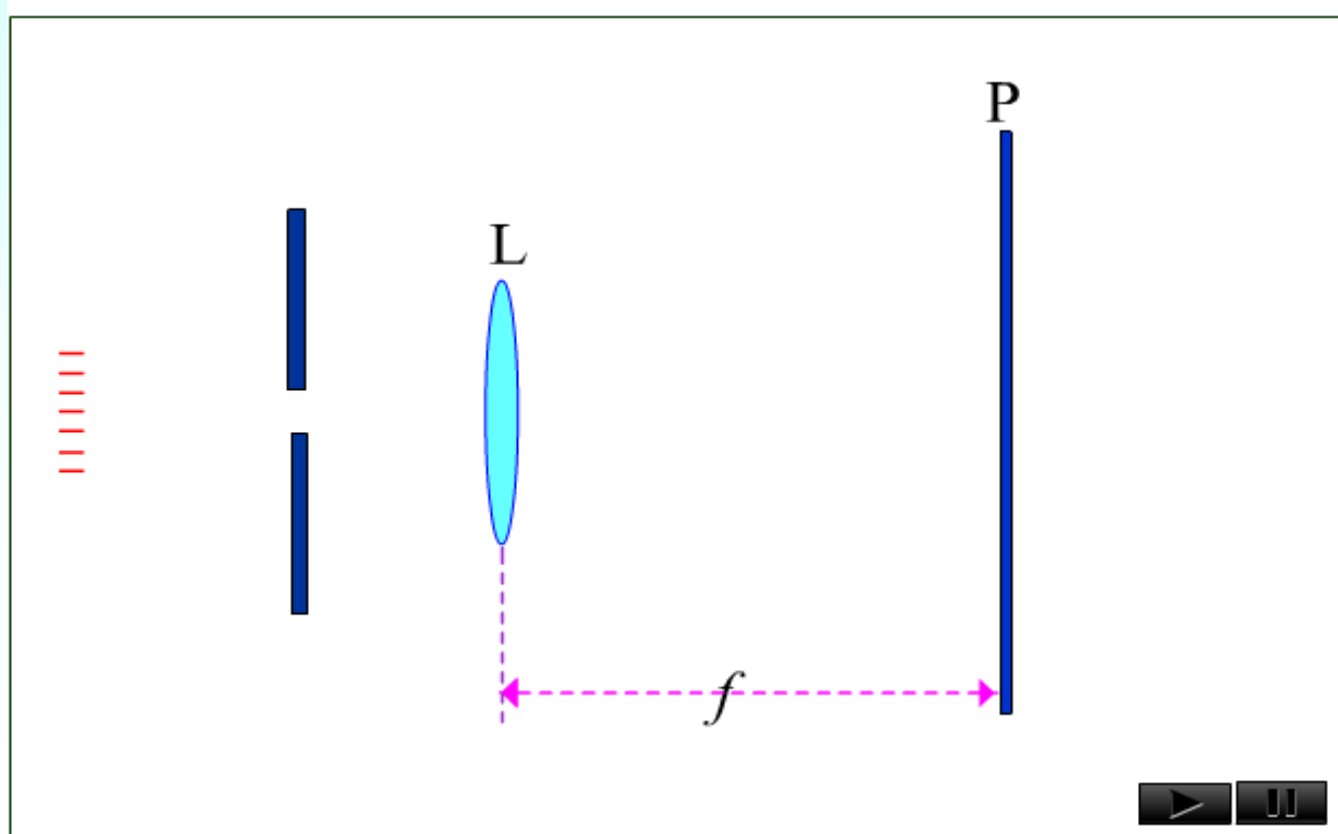


波长对条纹宽度的影响: $\Delta x \propto \lambda$

$$\Delta x_0 \propto \frac{\lambda}{a}$$

波长越长，条纹宽度越宽，衍射效应越明显。

复色光（白光）入射：不同波长的光的明纹不完全重叠



屏幕中央 O
为白色明纹，
最靠近 O 的
为紫色，最
远的为红色。

3.4 半波带法(确定明暗条纹的位置)

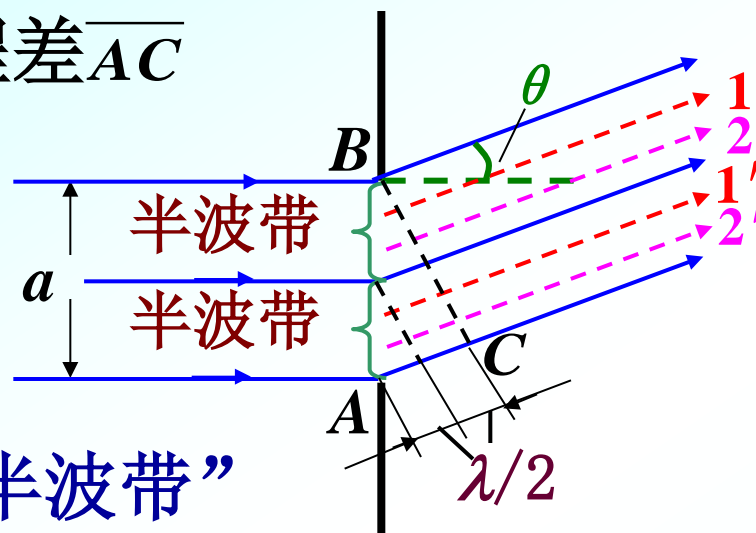
$A \rightarrow P$ 和 $B \rightarrow P$ 的光程差 \overline{AC}

$$\Delta r = a \sin \theta$$

$$\theta = 0, \Delta r = 0$$

—— 中央明纹(中心)

当 $a \sin \theta = \lambda$ 时,
可将缝分为两个“半波带”



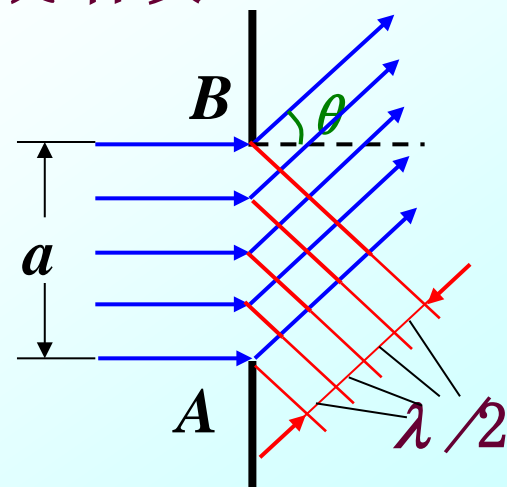
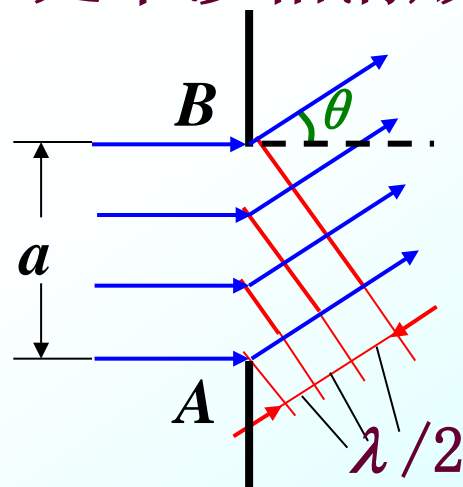
$$a \sin \theta = \pm k \lambda$$

$\frac{1}{2}$ } 半波带
 $\frac{1'}{2}$ } 半波带

两个“半波带”上发出的光在 P 处干涉相消形成暗纹。

当 $a \sin \theta = \frac{3}{2} \lambda$ 时
可将缝分成三个“半波带”

P 处近似为明纹中心



当 $a \sin \theta = 2\lambda$ 时,
可将缝分成四个“半波带”,
形成暗纹。

ZLCAI

一般情况:

P 点产生干涉的情况可由
 AC 间的半波长的倍数决定:

若: $AC = \text{偶数个半波长} = 2k \frac{\lambda}{2}$

$$AC = a \sin \theta$$

则: $a \sin \theta = \pm k \lambda, k=1, 2, 3 \cdots$ ——暗纹

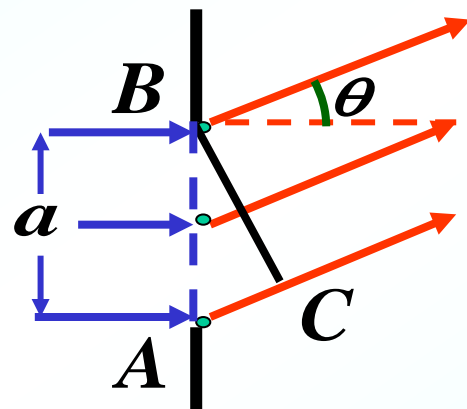
若: $AC = \text{奇数个半波长} = (2k+1) \frac{\lambda}{2}$

则: $a \sin \theta = \pm (2k+1) \frac{\lambda}{2}, k=1, 2, 3 \cdots$ ——(次级)明纹

$a \sin \theta = 0$ ——中央明纹

注: 上述暗纹和中央明纹(中心)位置是准确的,
其余明纹中心的位置较上稍有偏离。

若: $AC \neq \text{整数个半波长}$, 则对应明暗纹之间的情况。

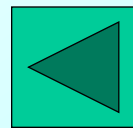


为什么 k 从1而不是从0开始?

若 $k=0$, 则

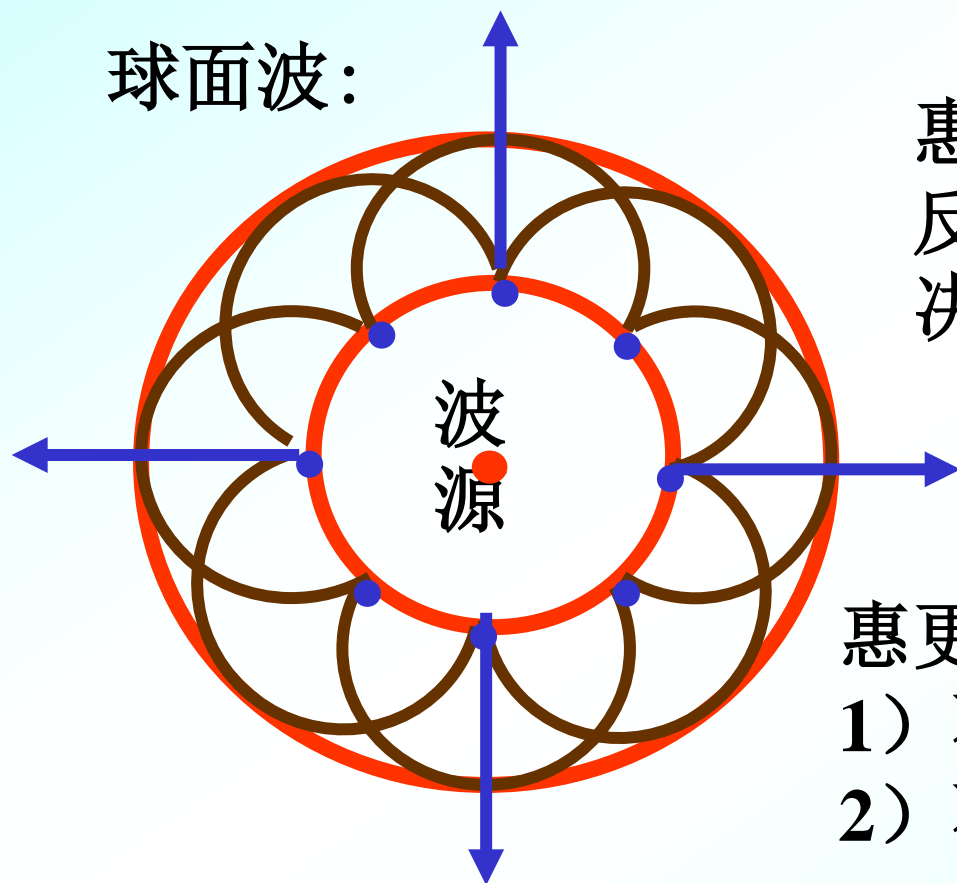
$$\theta = \frac{\lambda}{2a} < \frac{\lambda}{a} \text{ (中央极大半角宽)}$$

无意义



●惠更斯原理

媒质中任一波阵面上的各点，都可以看作是发射球面子波的波源，其后任一时刻，这些子波的包迹就是新的波阵面。



惠更斯原理定性地说明了波的反射、折射、衍射等现象，解决了波的传播方向问题。

惠更斯原理的不足：

- 1) 不能给出各子波的强度分布
- 2) 不能解释为什么不存在退行波



(方法一:惠更斯——菲涅耳原理)——推导过程说明

$$E_{(p)} = C \iint_s \frac{A(Q) \cdot f(\theta)}{r} \cdot \cos(\omega t - \frac{2\pi r}{\lambda}) \cdot dS$$

$$= C'' \int_{-a/2}^{a/2} \cos(\omega t - \frac{2\pi r}{\lambda}) \cdot dx \quad r = r_0 - x \sin \theta$$

$$= C'' \int_{-a/2}^{a/2} \cos 2\pi \left(\frac{t}{T} - \frac{r}{\lambda} \right) \cdot dx = C'' \int_{-a/2}^{a/2} \cos 2\pi \left(\frac{t}{T} - \frac{r_0 - x \sin \theta}{\lambda} \right) \cdot dx$$

$$= C'' \frac{\lambda}{2\pi \sin \theta} \int_{-a/2}^{a/2} \cos 2\pi \left(\frac{t}{T} - \frac{r_0 - x \sin \theta}{\lambda} \right) \cdot d \left[2\pi \left(\frac{t}{T} - \frac{r_0 - x \sin \theta}{\lambda} \right) \right]$$

$$= C'' \frac{\lambda}{2\pi \sin \theta} \cdot \sin \left[2\pi \left(\frac{t}{T} - \frac{r_0 - x \sin \theta}{\lambda} \right) \right] \Big|_{-a/2}^{a/2}$$

$$= C'' a \frac{\lambda}{2\pi a \sin \theta} \cdot 2 \sin \left(\frac{\pi a \sin \theta}{\lambda} \right) \cos 2\pi \left(\frac{t}{T} - \frac{r_0}{\lambda} \right)$$

$$= E_0 \frac{\sin \alpha}{\alpha} \cos 2\pi \left(\frac{t}{T} - \frac{r_0}{\lambda} \right)$$

记:

$$E_0 = C'' a$$

$$\alpha = \frac{\pi a \sin \theta}{\lambda}$$

$$I_\theta = I_0 \left(\frac{\sin \alpha}{\alpha} \right)^2$$

$$E_{p\theta} = E_0 \frac{\sin \alpha}{\alpha}$$